

Wissenschaftliches Rechnen

Paralleles Höchstleistungsrechnen

Christian Engwer

Uni Münster

April 5, 2011

Vorlesung

Dozent

- ▶ Christian Engwer
- ▶ zu finden in: Einsteinstrasse 62, Zimmer 120.220
- ▶ email: christian.engwer@uni-muenster.de

Vorlesung

- ▶ Di 14-16: Vorlesung
- ▶ Do 10-12: im Wechsel VL und Übungen (im Computer Pool)

Homepage

[http://wwwmath.uni-muenster.de/num/Vorlesungen/
WissenschaftlichesRechnen_SS11/](http://wwwmath.uni-muenster.de/num/Vorlesungen/WissenschaftlichesRechnen_SS11/)

Organisatorischer

- ▶ Wer studiert auf Diplom, wer auf Master?
- ▶ Wer hat bereits Programmiert?
- ▶ Wer hat bereits C/C++ Programmiert?

Was ist Wissenschaftliches Rechnen?

Typischer Wissenschaftlicher Prozess

Experiment

Theorie

- ▶ Charakterisierung: beobachten, quantifizieren, messen
- ▶ Hypothese
 - ▶ Theorie
 - ▶ Modell
- ▶ Vorhersage
 - ▶ logische Herleitung aus der Hypothese?
- ▶ Experiment
 - ▶ Verifikation/Falsifikation
 - ▶ Abweichungen führen ggf. zu neuem/besseren Modell

Was ist Wissenschaftliches Rechnen?

Numerische Simulation als dritte Säule

Experiment

Simulation

Theorie

Numerische Simulation ist die dritte Säule der Wissenschaft und Technik neben Theorie und Experiment, um Erkenntnisse zu gewinnen, z.B. wenn

- ▶ Eigenschaften/Strukturen nicht experimentell zugänglich sind
- ▶ Experimente teuer sind (und deshalb nur wenige durchgeführt werden können)
- ▶ Theorien durch ihre Vorhersagen getestet werden sollen

Was ist Wissenschaftliches Rechnen?

Wissenschaftliches Rechnen

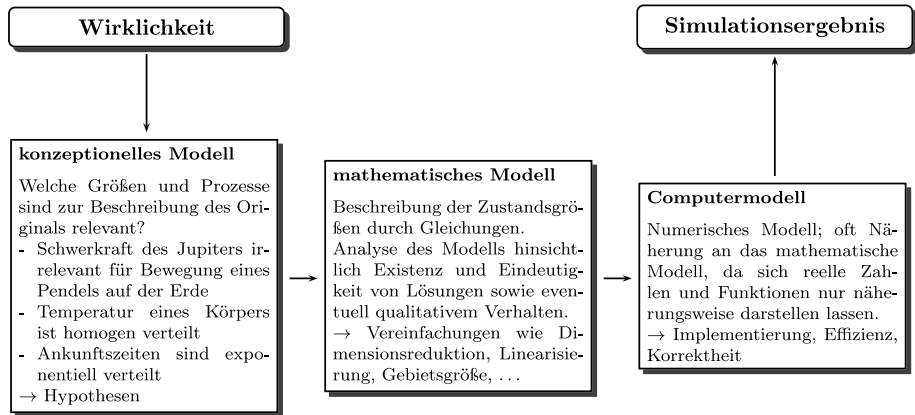
Experiment

Simulation

Theorie

Wissenschaftliches Rechnen ist ein interdisziplinäres Forschungsgebiet, das zwischen der numerischen Mathematik, der Informatik und den wissenschaftlichen Anwendungsfächern angesiedelt ist.

Modellierung & Simulation



Anwendungen

Elektromagnetismus

- ▶ Maxwell Gleichungen in der Zeitdomäne

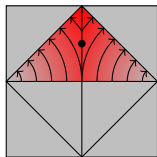
$$\begin{aligned} \nabla \cdot \mathbf{D} &= \rho & \nabla \times \mathbf{H} - \partial_t \mathbf{D} &= \mathbf{J}_{\text{int}} + \mathbf{J} \\ \nabla \times \mathbf{E} + \partial_t \mathbf{B} &= 0 & \nabla \cdot \mathbf{B} &= 0 \end{aligned}$$

- ▶ Zustandsgleichungen

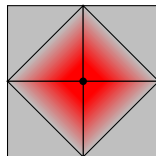
$$\mathbf{D} = \varepsilon * \mathbf{E}$$

$$\mathbf{B} = \mu * \mathbf{H}$$

$$\mathbf{J}_{\text{int}} = \sigma * \mathbf{E}$$



2D Edge Element



2D Node Element

Anwendungen

Elektromagnetismus

- ▶ Maxwell Gleichungen in der Zeitdomäne

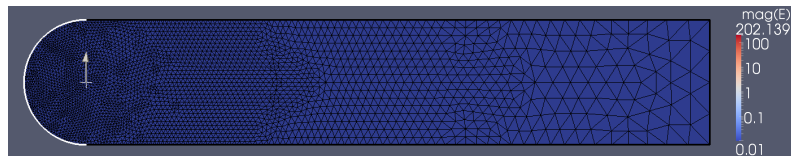
$$\begin{aligned} \nabla \cdot \mathbf{D} &= \rho & \nabla \times \mathbf{H} - \partial_t \mathbf{D} &= \mathbf{J}_{\text{int}} + \mathbf{J} \\ \nabla \times \mathbf{E} + \partial_t \mathbf{B} &= 0 & \nabla \cdot \mathbf{B} &= 0 \end{aligned}$$

- ▶ Zustandsgleichungen

$$\mathbf{D} = \varepsilon * \mathbf{E}$$

$$\mathbf{B} = \mu * \mathbf{H}$$

$$\mathbf{J}_{\text{int}} = \sigma * \mathbf{E}$$



Rechengitter

Anwendungen

Elektromagnetismus

- ▶ Maxwell Gleichungen in der Zeitdomäne

$$\begin{aligned} \nabla \cdot \mathbf{D} &= \rho & \nabla \times \mathbf{H} - \partial_t \mathbf{D} &= \mathbf{J}_{\text{int}} + \mathbf{J} \\ \nabla \times \mathbf{E} + \partial_t \mathbf{B} &= 0 & \nabla \cdot \mathbf{B} &= 0 \end{aligned}$$

- ▶ Zustandsgleichungen

$$\mathbf{D} = \varepsilon * \mathbf{E}$$

$$\mathbf{B} = \mu * \mathbf{H}$$

$$\mathbf{J}_{\text{int}} = \sigma * \mathbf{E}$$



Zeit: 0

Anwendungen

Elektromagnetismus

- ▶ Maxwell Gleichungen in der Zeitdomäne

$$\begin{aligned} \nabla \cdot \mathbf{D} &= \rho & \nabla \times \mathbf{H} - \partial_t \mathbf{D} &= \mathbf{J}_{\text{int}} + \mathbf{J} \\ \nabla \times \mathbf{E} + \partial_t \mathbf{B} &= 0 & \nabla \cdot \mathbf{B} &= 0 \end{aligned}$$

- ▶ Zustandsgleichungen

$$\mathbf{D} = \varepsilon * \mathbf{E}$$

$$\mathbf{B} = \mu * \mathbf{H}$$

$$\mathbf{J}_{\text{int}} = \sigma * \mathbf{E}$$



Zeit: 1.0021

Anwendungen

Elektromagnetismus

- ▶ Maxwell Gleichungen in der Zeitdomäne

$$\begin{aligned} \nabla \cdot \mathbf{D} &= \rho & \nabla \times \mathbf{H} - \partial_t \mathbf{D} &= \mathbf{J}_{\text{int}} + \mathbf{J} \\ \nabla \times \mathbf{E} + \partial_t \mathbf{B} &= 0 & \nabla \cdot \mathbf{B} &= 0 \end{aligned}$$

- ▶ Zustandsgleichungen

$$\mathbf{D} = \varepsilon * \mathbf{E}$$

$$\mathbf{B} = \mu * \mathbf{H}$$

$$\mathbf{J}_{\text{int}} = \sigma * \mathbf{E}$$



Zeit: 1.99705

Anwendungen

Elektromagnetismus

- ▶ Maxwell Gleichungen in der Zeitdomäne

$$\begin{aligned} \nabla \cdot \mathbf{D} &= \rho & \nabla \times \mathbf{H} - \partial_t \mathbf{D} &= \mathbf{J}_{\text{int}} + \mathbf{J} \\ \nabla \times \mathbf{E} + \partial_t \mathbf{B} &= 0 & \nabla \cdot \mathbf{B} &= 0 \end{aligned}$$

- ▶ Zustandsgleichungen

$$\mathbf{D} = \varepsilon * \mathbf{E} \quad \mathbf{B} = \mu * \mathbf{H} \quad \mathbf{J}_{\text{int}} = \sigma * \mathbf{E}$$



Zeit: 2.99915

Anwendungen

Elektromagnetismus

- ▶ Maxwell Gleichungen in der Zeitdomäne

$$\begin{aligned} \nabla \cdot \mathbf{D} &= \rho & \nabla \times \mathbf{H} - \partial_t \mathbf{D} &= \mathbf{J}_{\text{int}} + \mathbf{J} \\ \nabla \times \mathbf{E} + \partial_t \mathbf{B} &= 0 & \nabla \cdot \mathbf{B} &= 0 \end{aligned}$$

- ▶ Zustandsgleichungen

$$\mathbf{D} = \varepsilon * \mathbf{E}$$

$$\mathbf{B} = \mu * \mathbf{H}$$

$$\mathbf{J}_{\text{int}} = \sigma * \mathbf{E}$$



Zeit: 4.00125

Anwendungen

Elektromagnetismus

- ▶ Maxwell Gleichungen in der Zeitdomäne

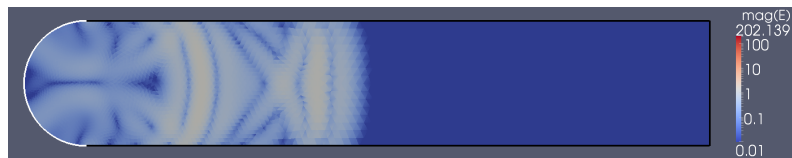
$$\begin{aligned} \nabla \cdot \mathbf{D} &= \rho & \nabla \times \mathbf{H} - \partial_t \mathbf{D} &= \mathbf{J}_{\text{int}} + \mathbf{J} \\ \nabla \times \mathbf{E} + \partial_t \mathbf{B} &= 0 & \nabla \cdot \mathbf{B} &= 0 \end{aligned}$$

- ▶ Zustandsgleichungen

$$\mathbf{D} = \varepsilon * \mathbf{E}$$

$$\mathbf{B} = \mu * \mathbf{H}$$

$$\mathbf{J}_{\text{int}} = \sigma * \mathbf{E}$$



Zeit: 5.00335

Anwendungen

Elektromagnetismus

- ▶ Maxwell Gleichungen in der Zeitdomäne

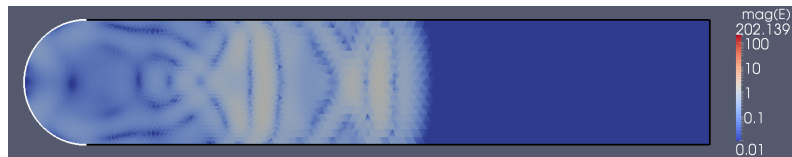
$$\begin{aligned} \nabla \cdot \mathbf{D} &= \rho & \nabla \times \mathbf{H} - \partial_t \mathbf{D} &= \mathbf{J}_{\text{int}} + \mathbf{J} \\ \nabla \times \mathbf{E} + \partial_t \mathbf{B} &= 0 & \nabla \cdot \mathbf{B} &= 0 \end{aligned}$$

- ▶ Zustandsgleichungen

$$\mathbf{D} = \varepsilon * \mathbf{E}$$

$$\mathbf{B} = \mu * \mathbf{H}$$

$$\mathbf{J}_{\text{int}} = \sigma * \mathbf{E}$$



Zeit: 5.99829

Anwendungen

Elektromagnetismus

- ▶ Maxwell Gleichungen in der Zeitdomäne

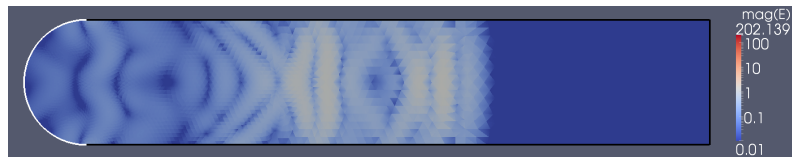
$$\begin{aligned} \nabla \cdot \mathbf{D} &= \rho & \nabla \times \mathbf{H} - \partial_t \mathbf{D} &= \mathbf{J}_{\text{int}} + \mathbf{J} \\ \nabla \times \mathbf{E} + \partial_t \mathbf{B} &= 0 & \nabla \cdot \mathbf{B} &= 0 \end{aligned}$$

- ▶ Zustandsgleichungen

$$\mathbf{D} = \varepsilon * \mathbf{E}$$

$$\mathbf{B} = \mu * \mathbf{H}$$

$$\mathbf{J}_{\text{int}} = \sigma * \mathbf{E}$$



Zeit: 7.00040

Anwendungen

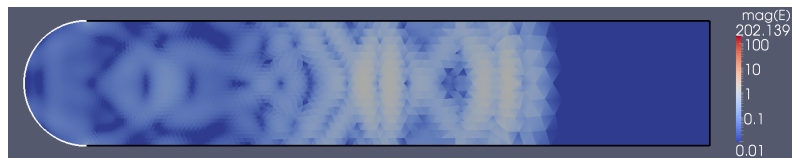
Elektromagnetismus

- ▶ Maxwell Gleichungen in der Zeitdomäne

$$\begin{aligned} \nabla \cdot \mathbf{D} &= \rho & \nabla \times \mathbf{H} - \partial_t \mathbf{D} &= \mathbf{J}_{\text{int}} + \mathbf{J} \\ \nabla \times \mathbf{E} + \partial_t \mathbf{B} &= 0 & \nabla \cdot \mathbf{B} &= 0 \end{aligned}$$

- ▶ Zustandsgleichungen

$$\mathbf{D} = \varepsilon * \mathbf{E} \quad \mathbf{B} = \mu * \mathbf{H} \quad \mathbf{J}_{\text{int}} = \sigma * \mathbf{E}$$



Zeit: 8.0025

Anwendungen

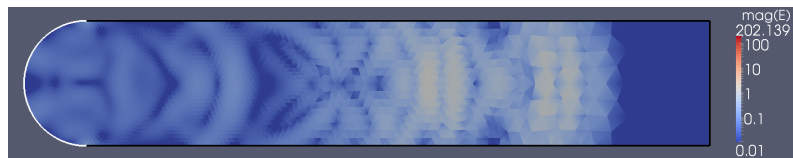
Elektromagnetismus

- ▶ Maxwell Gleichungen in der Zeitdomäne

$$\begin{aligned} \nabla \cdot \mathbf{D} &= \rho & \nabla \times \mathbf{H} - \partial_t \mathbf{D} &= \mathbf{J}_{\text{int}} + \mathbf{J} \\ \nabla \times \mathbf{E} + \partial_t \mathbf{B} &= 0 & \nabla \cdot \mathbf{B} &= 0 \end{aligned}$$

- ▶ Zustandsgleichungen

$$\mathbf{D} = \varepsilon * \mathbf{E} \quad \mathbf{B} = \mu * \mathbf{H} \quad \mathbf{J}_{\text{int}} = \sigma * \mathbf{E}$$



Zeit: 8.99744

Anwendungen

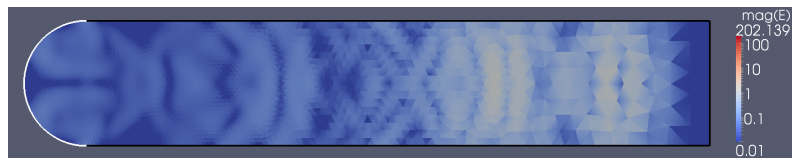
Elektromagnetismus

- ▶ Maxwell Gleichungen in der Zeitdomäne

$$\begin{aligned} \nabla \cdot \mathbf{D} &= \rho & \nabla \times \mathbf{H} - \partial_t \mathbf{D} &= \mathbf{J}_{\text{int}} + \mathbf{J} \\ \nabla \times \mathbf{E} + \partial_t \mathbf{B} &= 0 & \nabla \cdot \mathbf{B} &= 0 \end{aligned}$$

- ▶ Zustandsgleichungen

$$\mathbf{D} = \varepsilon * \mathbf{E} \quad \mathbf{B} = \mu * \mathbf{H} \quad \mathbf{J}_{\text{int}} = \sigma * \mathbf{E}$$



Zeit: 9.99954

Anwendungen

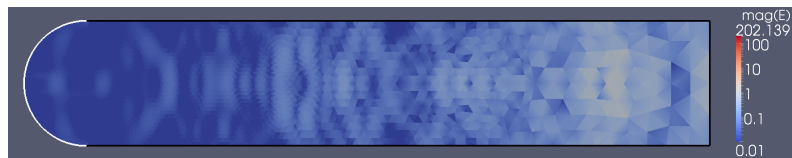
Elektromagnetismus

- ▶ Maxwell Gleichungen in der Zeitdomäne

$$\begin{aligned} \nabla \cdot \mathbf{D} &= \rho & \nabla \times \mathbf{H} - \partial_t \mathbf{D} &= \mathbf{J}_{\text{int}} + \mathbf{J} \\ \nabla \times \mathbf{E} + \partial_t \mathbf{B} &= 0 & \nabla \cdot \mathbf{B} &= 0 \end{aligned}$$

- ▶ Zustandsgleichungen

$$\mathbf{D} = \varepsilon * \mathbf{E} \quad \mathbf{B} = \mu * \mathbf{H} \quad \mathbf{J}_{\text{int}} = \sigma * \mathbf{E}$$



Zeit: 11.9966

Anwendungen

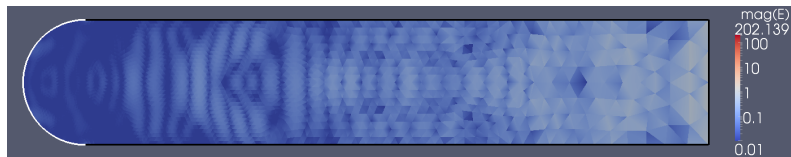
Elektromagnetismus

- ▶ Maxwell Gleichungen in der Zeitdomäne

$$\begin{aligned} \nabla \cdot \mathbf{D} &= \rho & \nabla \times \mathbf{H} - \partial_t \mathbf{D} &= \mathbf{J}_{\text{int}} + \mathbf{J} \\ \nabla \times \mathbf{E} + \partial_t \mathbf{B} &= 0 & \nabla \cdot \mathbf{B} &= 0 \end{aligned}$$

- ▶ Zustandsgleichungen

$$\mathbf{D} = \varepsilon * \mathbf{E} \quad \mathbf{B} = \mu * \mathbf{H} \quad \mathbf{J}_{\text{int}} = \sigma * \mathbf{E}$$



Zeit: 14.0008

Anwendungen

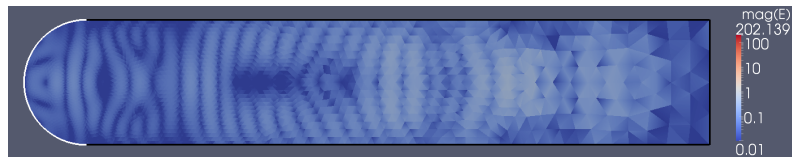
Elektromagnetismus

- ▶ Maxwell Gleichungen in der Zeitdomäne

$$\begin{aligned} \nabla \cdot \mathbf{D} &= \rho & \nabla \times \mathbf{H} - \partial_t \mathbf{D} &= \mathbf{J}_{\text{int}} + \mathbf{J} \\ \nabla \times \mathbf{E} + \partial_t \mathbf{B} &= 0 & \nabla \cdot \mathbf{B} &= 0 \end{aligned}$$

- ▶ Zustandsgleichungen

$$\mathbf{D} = \varepsilon * \mathbf{E} \quad \mathbf{B} = \mu * \mathbf{H} \quad \mathbf{J}_{\text{int}} = \sigma * \mathbf{E}$$



Zeit: 15.9978

Anwendungen

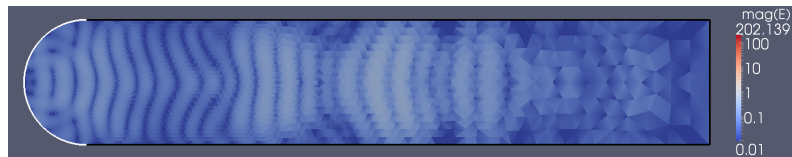
Elektromagnetismus

- ▶ Maxwell Gleichungen in der Zeitdomäne

$$\begin{aligned} \nabla \cdot \mathbf{D} &= \rho & \nabla \times \mathbf{H} - \partial_t \mathbf{D} &= \mathbf{J}_{\text{int}} + \mathbf{J} \\ \nabla \times \mathbf{E} + \partial_t \mathbf{B} &= 0 & \nabla \cdot \mathbf{B} &= 0 \end{aligned}$$

- ▶ Zustandsgleichungen

$$\mathbf{D} = \varepsilon * \mathbf{E} \quad \mathbf{B} = \mu * \mathbf{H} \quad \mathbf{J}_{\text{int}} = \sigma * \mathbf{E}$$



Zeit: 18.002

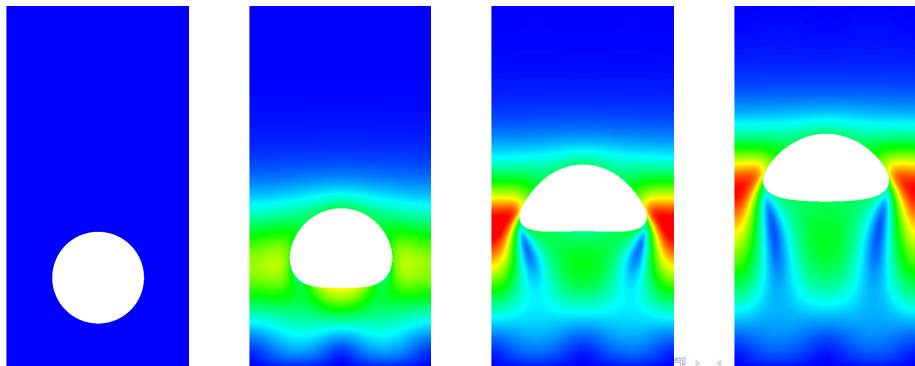
Anwendungen

Navier-Stokes Zwei-Phasen Strömung (aufsteigende Gasblase)

$$\rho_i \partial_t \mathbf{u} + \rho_i \mathbf{u} \cdot \nabla \mathbf{u} = -\nabla \underline{\sigma} + \rho_i \mathbf{g}$$

$$\nabla \cdot \mathbf{u} = 0$$

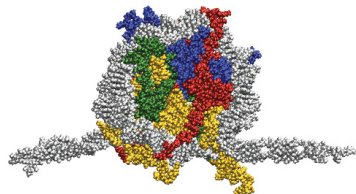
Spannungstensor: $\underline{\sigma} := -p \underline{\mathbf{1}} + \mu_i \nabla \mathbf{u} + (\nabla \mathbf{u})^T$



Anwendungen

Molekularbiologie

- ▶ Simulation eines Nukleosom
- ▶ Nukleosom um Histonen (Proteine, hier bunt) gewickelt
- ▶ externe Kraft wird angelegt
- ▶ *Wie entrollt sich die DNA?*
- ▶ Diskretes Modell, Molekulardynamik Simulation
- ▶ Simulationszeit 30ns
- ▶ Cluster mit 512 Kernen, 20 Tage Rechenzeit



Dr. Kepper, Bioquant, Universität Heidelberg

Warum parallel Rechnen ?

- ▶ Nebenläufigkeit
 - ▶ Abarbeitung mehrerer Prozesse auf einem Prozessor
 - ▶ Multi-Tasking Betriebssysteme seit den 60er Jahren
 - ▶ Bedienung mehrerer Geräte und Benutzer
 - ▶ Ziel: Steigerung der Auslastung
 - ▶ “Hyperthreading”: Nutze Wartezeiten des Prozessors
 - ▶ “Multi-Core” / “Multi-Processor”
 - ▶ Mehrere Dinge gleichzeitig : Web-Browser, Desktop
 - ▶ Koordinationsproblematik tritt bereits hier auf
- ▶ Verteilte Anwendungen
 - ▶ Datenbasis ist inhärent verteilt: betriebswirtschaftliche Software, Warenfluß in großen Unternehmen
 - ▶ Hier wichtig: plattformübergreifende Kommunikation, Client-Server Architekturen
 - ▶ Auch wichtig: Sicherheit, VPN, etc. (behandeln wir nicht)

Es gibt sehr verschiedene Parallelrechner



Es gibt sehr verschiedene Parallelrechner



4 × 12 Core AMD-Opteron

Es gibt sehr verschiedene Parallelrechner



4 × 12 Core AMD-Opteron

IBM BlueGene P

Es gibt sehr verschiedene Parallelrechner



4 × 12 Core AMD-Opteron

IBM BlueGene P

Beide Varianten für uns relevant!

High Performance Computing

- ▶ Treibt Rechnerentwicklung seit Anfang 1940er
- ▶ Anwendungen: mathematische Modellierung und numerische Simulation
- ▶ ungestillter “Hunger” nach Rechenzeit:
 - ▶ Modellfehler → detailliertere Physik
 - ▶ Approximationsfehler → mehr Freiheitsgrade
- ▶ Grand Challenges:
 - ▶ Kosmologie, z. B. Galaxiendynamik
 - ▶ Proteinfaltung
 - ▶ Erdbebenvorhersage
 - ▶ Klimaentwicklung
- ▶ ASCI Program (Advanced Simulation and Computing)
Programm amerikanischer Parallelrechner seit 1992, Funding 2004:
200 Mio US-\$ DoE, 87 Mio US-\$ NSF

Grand Challenges

- ▶ U.S. Departement of Energy
- ▶ Advanced Scientific Computing Research
- ▶ Grand Challenges & Exa-Scale Computing

Grand Challenges

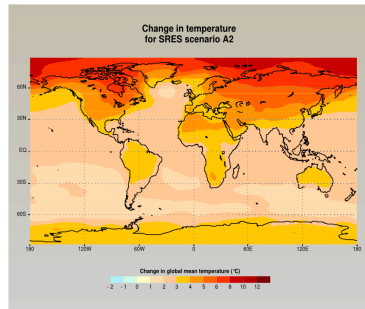
- ▶ U.S. Departement of Energy
- ▶ Advanced Scientific Computing Research
- ▶ Grand Challenges & Exa-Scale Computing
 - ▶ Climate Science
 - ▶ High Energy Physics
 - ▶ Fusion Science
 - ▶ Nuclear Energy
 - ▶ Biology
 - ▶ National Security

Grand Challenges

- ▶ U.S. Departement of Energy
- ▶ Advanced Scientific Computing Research
- ▶ Grand Challenges & Exa-Scale Computing
 - ▶ Climate Science
 - ▶ High Energy Physics
 - ▶ Fusion Science
 - ▶ Nuclear Energy
 - ▶ Biology
 - ▶ National Security

Klimavorhersage

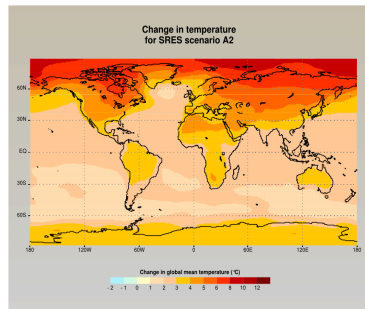
- ▶ Langfristige Klimaprognosen
- ▶ Simulation von Temperatur, Winden & Gasen in der Atmosphäre
- ▶ Interaktion mit Ozeanen und Festland



Quelle: IPCC

Klimavorhersage

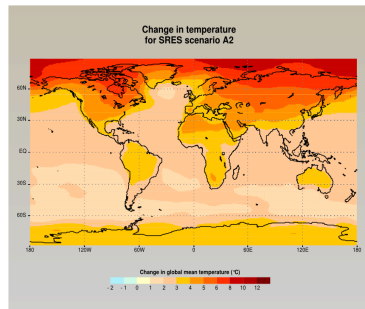
- ▶ Langfristige Klimaprognosen
- ▶ Simulation von Temperatur, Winden & Gasen in der Atmosphäre
- ▶ Interaktion mit Ozeanen und Festland
- ▶ Grundlegende Gleichungen bekannt
- ▶ Instabiles System



Quelle: IPCC

Klimavorhersage

- ▶ Langfristige Klimaprognosen
 - ▶ Simulation von Temperatur, Winden & Gasen in der Atmosphäre
 - ▶ Interaktion mit Ozeanen und Festland
 - ▶ Grundlegende Gleichungen bekannt
 - ▶ Instabiles System
- Sehr genaue Messungen und Simulationen nötig



Quelle: IPCC

Paralleles Rechnen zur Wettersimulation

- ▶ Erste Idee eines Parallelrechners zur Wettervorhersage stammt von Lewis Fry Richardson
 - ▶ Buch: *Weather Prediction by Arithmetical Finite Differences* (1916)
 - ▶ An einzelnen Messpunkten werden Wetterdaten in versch. Höhen erhoben
 - ▶ 64000 Messpunkte über die Erde verteilt
 - ▶ Auflösung ca. 100 km
 - ▶ Jeder Messpunkt sollte von einem *Computer* ausgewertet werden.
 - ▶ Vorhersage für den Folgetag

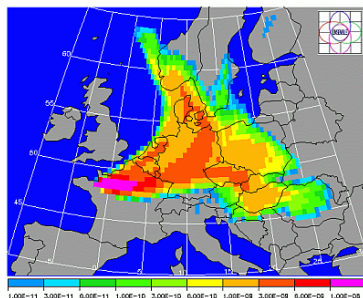
Paralleles Rechnen zur Wettersimulation

- ▶ Erste Idee eines Parallelrechners zur Wettervorhersage stammt von Lewis Fry Richardson
 - ▶ Buch: *Weather Prediction by Arithmetical Finite Differences* (1916)
 - ▶ An einzelnen Messpunkten werden Wetterdaten in versch. Höhen erhoben
 - ▶ 64000 Messpunkte über die Erde verteilt
 - ▶ Auflösung ca. 100 km
 - ▶ Jeder Messpunkt sollte von einem *Computer* ausgewertet werden.
 - ▶ Vorhersage für den Folgetag
 - ▶ Wurde nie umgesetzt, und hätte so auch nicht funktioniert

Paralleles Rechnen zur Wettersimulation

Heute:

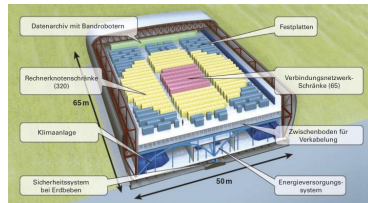
- ▶ Deutscher Wetterdienst
 - ▶ NEC SX-9 Vectorrechner (seit 2009)
 - ▶ ca. 11 TFlops
 - ▶ Auflösung von 2,8 km



Paralleles Rechnen zur Wettersimulation

Heute:

- ▶ Deutscher Wetterdienst
 - ▶ NEC SX-9 Vectorrechner (seit 2009)
 - ▶ ca. 11 TFlops
 - ▶ Auflösung von 2,8 km
- ▶ Earthsimulator
 - ▶ Japanischer Supercomputer
 - ▶ Klimasimulationen der gesamten Erde
 - ▶ Führte von 2002 bis 2004 die TOP 500 an
 - ▶ Upgrade 2009



TOP 500

November 2010

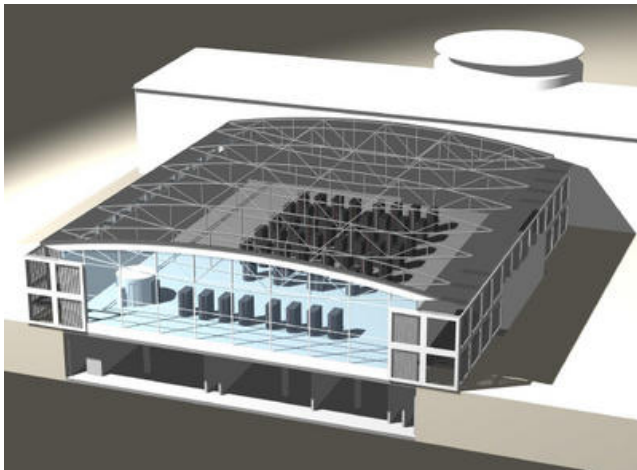
1. Tianhe-1A (China) – *NUDT TH MPP, X5670 2.93Ghz 6C, NVIDIA GPU, FT-1000 8C, NUDT*
2. Jaguar (USA) – *Cray XT5-HE Opteron 6-core 2.6 GHz, Cray Inc.*
3. Nebulae (China) – *Dawning TC3600 Blade, Intel X5650, NVidia Tesla C2050 GPU, Dawning*
4. TSUBAME 2.0 (Japan) – *HP ProLiant SL390s G7 Xeon 6C X5670, Nvidia GPU, Linux/Windows, NEC/HP*
5. Hopper (USA) – *Cray XE6 12-core 2.1 GHz Cray Inc.*
6. Tera-100 (Frankreich) – *Bull bullx super-node S6010/S6030, Bull SA*
7. Roadrunner (USA) – *BladeCenter QS22/LS21 Cluster, PowerXCell 8i 3.2 Ghz / Opteron DC 1.8 GHz, IBM*
8. Kraken XT5 (USA) – *Cray XT5-HE Opteron 6-core 2.6 GHz, Cray Inc.*
9. JUGENE (Deutschland) – *Blue Gene/P Solution, IBM*
10. Cielo (USA) – *Cray XE6 8-core 2.4 GHz, Cray Inc.*

TOP 500

November 2010

1. Tianhe-1A (China) – *NUDT TH MPP, X5670 2.93Ghz 6C, NVIDIA GPU, FT-1000 8C, NUDT*
2. Jaguar (USA) – *Cray XT5-HE Opteron 6-core 2.6 GHz, Cray Inc.*
3. Nebulae (China) – *Dawning TC3600 Blade, Intel X5650, NVidia Tesla C2050 GPU, Dawning*
4. TSUBAME 2.0 (Japan) – *HP ProLiant SL390s G7 Xeon 6C X5670, Nvidia GPU, Linux/Windows, NEC/HP*
5. Hopper (USA) – *Cray XE6 12-core 2.1 GHz Cray Inc.*
6. Tera-100 (Frankreich) – *Bull bullx super-node S6010/S6030, Bull SA*
7. Roadrunner (USA) – *BladeCenter QS22/LS21 Cluster, PowerXCell 8i 3.2 Ghz / Opteron DC 1.8 GHz, IBM*
8. Kraken XT5 (USA) – *Cray XT5-HE Opteron 6-core 2.6 GHz, Cray Inc.*
9. JUGENE (Deutschland) – *Blue Gene/P Solution, IBM*
10. Cielo (USA) – *Cray XE6 8-core 2.4 GHz, Cray Inc.*

Jugene



Das Jülich Supercomputing Center

Jugene



Kühlwasserleitungen im Boden

Jugene



Installation der Jugene

Jugene



Jugene (8 Racks je Reihe)

Jugene



Jugene, einzelnes Rack mit
2 midplanes, à 16 nodeboards, à 32 CPUs

Jugene

Hardware

- ▶ 72 Racks, à 1024 CPUs
 - ▶ je 2 midplanes, à 16 nodeboards, à 32 CPUs
- ▶ 4-Kern Power-PC-450 CPUs, 850 MHz
 - 294.912 Kerne
- ▶ zwei Gigabyte RAM pro CPU
 - 144 Terabyte Hauptspeicher
- ▶ 825,5 TFLOPs Peakperformance (Linpack)
 - neunt schnellste Computer weltweit
 - ▶ erster europäische PetaFLOP-Rechner

Jugene

Infrastruktur

- ▶ **Ausmaße:** 130 m²
- ▶ **Energieverbrauch:**
 - ▶ 2.2 - 2.5 MW (ca. 6000 3-Familienhaushalte)
 - ▶ 20% for cooling
- ▶ **Kühlung:**
 - ▶ Luftkühlung: 60.000 m³/h
 - ▶ Wasserkühlung: ca. 360 m³/h,

Inhalt der Vorlesung

I Hardware

- ▶ Prozessorentwicklung, Pipelining, SIMD, MIMD
- ▶ Caches, Cachekonsistenz, Multicore
- ▶ Verbindungsnetzwerke

II Programmierung

- ▶ C++
- ▶ gemeinsamer Speicher: Locks, Semaphore
- ▶ PThreads, OpenMP
- ▶ verteilter Speicher: MPI-I, MPI-II

III Algorithmen

- ▶ Bewertung von Algorithmen, prinzipielles Vorgehen, Lastverteilung
- ▶ dichtbesetzte Matrizen
- ▶ dünnbesetzte Gleichungssysteme
- ▶ Partikel-Simulationen

Material

- ▶ Hennessy und Patterson, *Computer architecture: a quantitative approach*
- ▶ Schwandt, *Parallele Numerik: Eine Einführung*
- ▶ Bengel, *Masterkurs Parallele und Verteilte Systeme*
- ▶ Herlihy und Shavit *The art of multiprocessor programming*
- ▶ Bastian, *Vorlesungsskript Paralleles Rechnen*,
<http://conan.iwr.uni-heidelberg.de/teaching/scripts/pr1.pdf>